

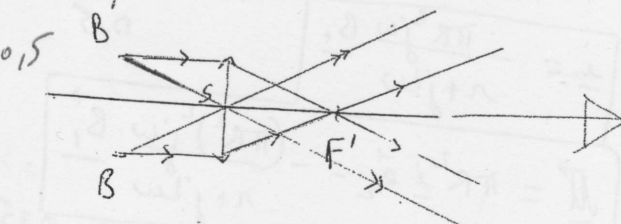
CCP PC 12 q1 Pb I.

N/21,5

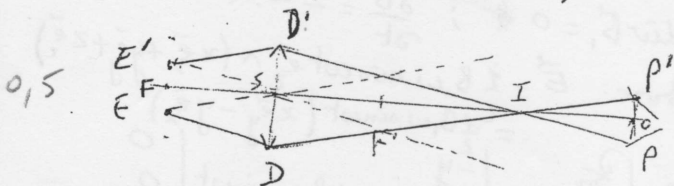
1.1.1. Approximation de Gauss : hyst.

0,25 Rayons peu inclinés / axe optique
 → Stigmatisme : l'image d'un point est un point
 Aplanétisme : l'image d'un objet plan / axe
 est plane / axe

0,25 explicatif



1.1.3. 0,15 on trace DP' puis le rayon // passant par S (non dévié)



0,25 Comme l'objet est dans le plan focal
 objet, on déduit E car 2 rayons issus du même point du plan focal objectif ressortent parallèles entre eux

E' est symétrique de E / axe optique

1.1.4. 0,25 On retrouve un même angle α
 plusieurs fois : $\tan \alpha = \frac{FE'}{SF} = \frac{OP'}{OI} = \frac{SD'}{SI}$

On a $OI + SI = OS$ soit $(OP' + SD') \frac{SF}{FE'} = OS$

Ainsi $FE' = (OP' + SD') \frac{SF}{OS}$ et en doublant :

$$EE' = (PP' + DD') \frac{SF}{OS} \quad AN: EE' = (6+20) \frac{12}{200} = 1,56 \text{ mm}$$

$$\frac{\tau}{1} = \left(\frac{EE'}{BB'} \right)^2 = \left(\frac{1,56}{20} \right)^2 = 6\%$$

$$1.2.1. \frac{1}{f'} = \frac{1}{SA_2} - \frac{1}{SA} \Rightarrow \frac{1}{SA_2} = \frac{1}{f'} + \frac{1}{SA}$$

$$AN: \frac{1}{SA_2} = \frac{1}{36} + \frac{1}{-12} \Rightarrow \overline{SA_2} = -18 \text{ mm}$$

L'image $B_2B'_2$ de l'objet BB' est à -18 mm de S

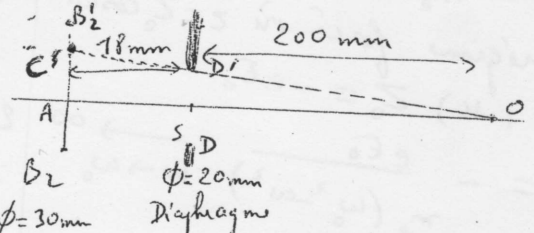
Cette image est virtuelle, la lentille fonctionne en loupe. (1)

0,25 Le rayon passant par S n'est pas dévié,
 donc $\frac{B_2B'_2}{BB'} = \frac{SA_2}{SA} = \frac{18}{12} = \frac{3}{2}$

$$d'où \underline{B_2B'_2 = 1,5 BB'} = 1,5 \times 20 = 30 \text{ mm} \quad 0,25$$

1.2.2. La distance entre l'œil et le plan image

$$B_2B'_2 \text{ est } 200 + 18 = 218 \text{ mm} \quad 0,25$$



Si on prolonge OD' vers la gauche, on atteint un point C'. Montrons que C'est en-dessous de B'_2 . $\frac{AC'}{SD'} = \frac{OA}{OS} \rightarrow AC' = OA \cdot \frac{SD'}{OS}$

$$AC' = \left(200 + 18 \right) \frac{10}{200} = 10,8 \text{ mm}$$

On $AB'_2 = 15 \text{ mm}$ on a bien $AC' < AB'_2$

donc le diaphragme DD' masque une partie de l'image $B_2B'_2$ à l'œil situé en O

$$\underline{\tau_e = \left(\frac{AC'}{AB'_2} \right)^2 = \left(\frac{10,8}{15} \right)^2 = 53\%} \quad 1,25$$

1.3.1. La distance focale est obtenue à partir d'un objet A situé à l'infini il donne F' selon $n_1 \left(\frac{1}{SF} - \frac{1}{\infty} \right) = \frac{n_2 - n_1}{CS}$

$$\text{soit } f' = \overline{SF} = \frac{CS \frac{n_1}{n_2 - n_1}}{n_2 - n_1}$$

$$A.N.: f' = 6 \times \frac{1}{1,5 - 1} = 12 \text{ mm} \quad 0,75$$

$$1.3.2. \text{ Idem } f'_2 = \frac{CS \frac{n_1}{n_2 - n_3}}{n_2 - n_3} = \frac{6 \times 1}{1,5 - 1,33} = 35,3 \text{ mm} \quad 0,25$$

1.3.3. $n_3 = 1,33$ indice de l'eau

$n_2 = 1,5$ indice du verre

Fig a: gobelet vide : $f' = 12 \text{ mm}$: objet du plan focal

Fig b: gobelet plein : $f' = 35 \text{ mm}$: l'objet est entre F et S → fonctionne en loupe ; l'œil voit l'image (virtuelle)

Pour moi, l'œil voit aussi de la cas fig a (*c'est limite*) en-dessous de 12 mm il ne voit plus rien

Pb-II

2.1.1. TCI à e : $m_e \ddot{z} = -Kz$

$$0,25 \quad \ddot{z} + \frac{K}{m_e} z = 0 \quad \omega_0 = \sqrt{\frac{K}{m_e}}$$

Si on applique un champ électrique de fréquence $\omega = \omega_0$ alors il y a résonance, l'amplitude de vibration étant infinie (en absence de frottement).

En effet $m_e \ddot{z} = -Kz - eE_0 \cos \omega t$ soit en régime forcé où $z = Z_0 \cos \omega t$ ($-\omega^2 m_e + K$) $Z_0 = -eE_0$

$$Z_0 = -\frac{eE_0}{m_e(\omega_0^2 - \omega^2)} \xrightarrow{\omega \rightarrow \omega_0} \infty$$

2.1.2. $E_a = \frac{1}{2} K z^2$

Souhait : $E_a = 13,6 \text{ eV} = 13,6 \cdot 1,6 \cdot 10^{-19} \text{ J}$

$$K = \frac{2 E_a}{z^2} = \frac{2 \times 13,6 \times 1,6 \times 10^{-19}}{(1 \times 10^{-10})^2} = \frac{435,2}{\text{N.m}^{-1}}$$

$$0,25 \quad \omega_0 = \sqrt{\frac{K}{m_e}} = \sqrt{\frac{435,2}{9,1 \times 10^{-31}}} = 2,19 \cdot 10^{16} \text{ s}^{-1}$$

$$0,25 \quad f_0 = \frac{\omega_0}{2\pi} = 3,5 \cdot 10^{15} \text{ Hz}$$

2.1.3. $m_e \ddot{z} = -Kz - \gamma \dot{z} - eE_0 \cos \omega t$

Notation complexe : $z = Z_0 \cos(\omega t + \varphi)$

$$E = E_0 e^{j\omega t} \quad Z = Z_0 e^{j(\omega t + \varphi)}$$

d'où $(-m_e \omega^2 + j\omega \gamma + \omega_0^2) Z_0 e^{j\varphi} = -eE_0$

ou $(\omega_0^2 - \omega^2 + 2j\gamma\omega) Z_0 e^{j\varphi} = -\frac{eE_0}{m_e}$

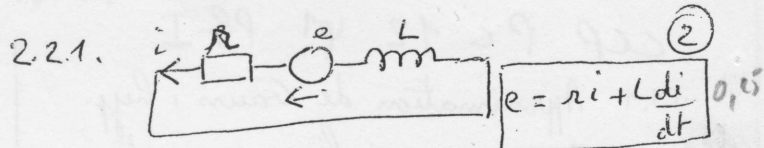
2.1.4. Ici $Z = Z_0 e^{j\varphi}$

$$0,5 \quad Z = -\frac{eE_0}{m_e(\omega_0^2 - \omega^2 + 2j\gamma\omega)}$$

Amplitude : $|Z| = \frac{|eE_0|}{m_e \sqrt{(\omega_0^2 - \omega^2)^2 + 4\gamma^2\omega^2}}$

2.1.5. $f = -eZ$ et $F = -e\dot{Z}$

d'où $P = -eZ$ soit $\alpha = \frac{P}{E_0} = \frac{e}{m_e(\omega_0^2 - \omega^2 + 2j\gamma\omega)}$



2.2.2. $\Phi(t) = B_1 \cdot \pi R^2$

$$0,25 \quad e_{(A)} = -\frac{d\Phi}{dt} = -\pi R^2 \frac{dB_1}{dt}$$
 corrélativement au sens de i de la fig 2.2.

2.2.3. En complexe, $e = r i + j \omega \underline{i}$
et $e = -\pi R^2 j \omega \underline{B}_1$

d'où $\underline{i} = -\frac{\pi R^2 j \omega \underline{B}_1}{r + j \omega}$ 0,5

2.2.4. $\underline{M} = \pi R^2 \underline{i} \underline{e}_z = -\frac{(\pi R^2)^2 j \omega \underline{B}_1}{r + j \omega}$ 0,25

2.3.1. $\underline{B}_1 = B_1 \cos \omega t \underline{e}_z$ uniforme donc
 $\operatorname{div} \underline{B}_1 = 0 \quad ; \quad \frac{\partial \underline{B}}{\partial t} = -\omega B_1 \sin \omega t \underline{e}_z$

Avec : $\underline{E} = 1 B_1 \omega \sin \omega t \underline{e}_z \wedge (x \underline{e}_y + y \underline{e}_x + z \underline{e}_z)$
 $= \frac{1}{2} B_1 \omega \sin \omega t (x \underline{e}_y - y \underline{e}_x)$

$$\operatorname{rot} \underline{E}_1 = \begin{vmatrix} \frac{\partial}{\partial x} & -y \\ \frac{\partial}{\partial y} & x \\ \frac{\partial}{\partial z} & 0 \end{vmatrix} = \frac{1}{2} B_1 \omega \sin \omega t \begin{vmatrix} 0 & 0 \\ 0 & 2 \end{vmatrix}$$

$= B_1 \omega \sin \omega t \underline{e}_z$

on a bien $\operatorname{rot} \underline{E} = -\frac{\partial \underline{B}}{\partial t}$ (OK) 0,25

$\operatorname{div} \underline{E}_1 = \frac{\partial E_x}{\partial x} + \frac{\partial E_y}{\partial y} + \frac{\partial E_z}{\partial z} = \frac{1}{2} B_1 \omega \sin \omega t (0-0)$

car $E_z = 0$ E_x ne dépend que de y
 E_y ne dépend que de x

On a bien $\operatorname{div} \underline{E}_1 = 0$ (OK) 0,25

2.3.2. $\operatorname{rot} \underline{B}_1 = \underline{0}$ car \underline{B}_1 uniforme

or $\operatorname{rot} \underline{B}_1 = \frac{1}{c} \frac{\partial \underline{E}}{\partial t}$ et ici \underline{E}_1 dépend du temps

$\frac{\partial \underline{E}_1}{\partial t} \neq \underline{0}$ car \underline{E}_1 dépend du temps.
Il faut donc pouvoir négliger $\frac{1}{c^2} \frac{\partial \underline{E}_1}{\partial t}$ 0,25

L'approximation classique consistant à négliger $\frac{1}{c^2} \frac{\partial \underline{E}_1}{\partial t}$ est l'approximation des régimes quasi-stationnaires. 0,25

2.3.3. $\left\| \frac{\partial \vec{E}_1}{\partial t} \right\| \sim \omega E_1$

0,25 $\gamma = \frac{\frac{1}{c^2} \left\| \frac{\partial \vec{E}_1}{\partial t} \right\|}{\frac{B_1}{R}} \sim \frac{\omega E_1 R}{c^2 B_1}$

Nous avons $\text{rot } \vec{E}_1 = - \frac{\partial \vec{B}_1}{\partial t}$ on peut aussi donner un ordre de grandeur: $\frac{E_1}{R} = \omega B_1$

soit $\frac{E_1}{B_1} = \omega R$

0,25 Ainsi $\gamma \sim \frac{(\omega R)^2}{c^2}$

Seul fait: $\gamma < 10^{-2} \Rightarrow \omega R < 10^{-1} c$

$\omega < 10^{-1} \frac{c}{R}$ ou $\omega < \omega_c$ avec $\omega_c = 10^{-1} \frac{c}{R}$

0,25 AN $\omega_c = 10^{-1} \cdot \frac{3 \times 10^8}{10^{-10}} = 3 \cdot 10^{17} \text{ s}^{-1}$

2.3.4. $\vec{f}_L = q (\vec{E}_1 + \vec{v} \wedge \vec{B}_1)$

2.3.5. $\vec{v} = R \dot{\theta} \vec{e}_\theta$
0,25
0,5 $\vec{a} = -R \dot{\theta}^2 \vec{e}_r + R \ddot{\theta} \vec{e}_\theta$

2.3.6. $m_e \vec{a} = \vec{f}_L + \vec{f}_r + \vec{f}_R$ (TC I)
do R gal

Projete sur \vec{e}_θ :

$$m_e R \ddot{\theta} = \vec{f}_L \cdot \vec{e}_\theta - \gamma R \dot{\theta} + 0$$

On remarque que $\vec{E}_1 = \frac{1}{2} B_1 \omega \sin \omega t \vec{e}_z$
càd $\vec{E}_1 = \frac{1}{2} B_1 \omega R \sin \omega t \vec{e}_\theta$

En revanche $\vec{v} \wedge \vec{B}_1 \propto \vec{e}_\theta$ puisque $\vec{v} \wedge \vec{B}_1 \perp \vec{v}$ lui-même parallèle à \vec{e}_θ .

Donc $m_e R \ddot{\theta} = \frac{1}{2} q B_1 \omega R \sin \omega t - \gamma R \dot{\theta}$

2.3.7. Si $\dot{\theta} = \frac{2\pi}{q} i$ alors

$$m_e R \frac{2\pi}{q} \frac{di}{dt} = \frac{1}{2} q B_1 \omega R \sin \omega t - \gamma R \frac{2\pi}{q} i$$

soit $\gamma R \frac{2\pi}{q} i + m_e R \frac{2\pi}{q} \frac{di}{dt} = -\frac{R}{2} \frac{d(B_1 \sin \omega t)}{dt}$

Pour retrouver l'analogie de 2.2.1 et 2.2.2, on multiplie par $2\pi R$

$$(2\pi R)^2 \frac{q}{9} i + (2\pi R)^2 \frac{m_e}{q} \frac{di}{dt} = -\pi R^2 \frac{d B_{1,\text{totale}}}{dt}$$

Par identification: $r = (2\pi R)^2 \frac{q}{9}$ 0,5
 $L = (2\pi R)^2 \frac{m_e}{q}$ 0,5

2.3.8. Comme en 2.2.4 $\vec{M} = \pi R^2 i \vec{e}_z$
et que $i = \frac{q}{2\pi} \dot{\theta}$ cela fait $\vec{M} = \frac{q R^2}{2} \dot{\theta} \vec{e}_z$ (OK) 0,25

2.4.1. Mouvement hélicoïdal:

$$\vec{v} = R \dot{\theta} \vec{e}_\theta + \dot{z} \vec{e}_z = R \dot{\theta} \vec{e}_\theta + A \dot{\theta} \vec{e}_z$$

$$E_c = \frac{1}{2} m_e v^2 = \frac{1}{2} m_e \dot{\theta}^2 (R^2 + A^2)$$

2.4.2. $\vec{P}(f_r) = \vec{f}_r \cdot \vec{v}$
 $\vec{P}(f_r) = -K (r \vec{e}_x + z \vec{e}_z) \cdot \dot{\theta} (R \vec{e}_\theta + A \vec{e}_z)$
 d'où $\vec{P}(f_r) = -KA \dot{\theta} = -KA^2 \ddot{\theta}$ 0,5

La réaction normale est \perp déplacement
càd $\perp \vec{v}$ donc $\vec{P}(f_R) = 0$ 0,25

$$\vec{P}(f_r) = \vec{f}_r \cdot \vec{v} = -\gamma \vec{v} \cdot \vec{v} = -\gamma v^2$$

$$\vec{P}(f_r) = -\gamma R \dot{\theta} - \gamma A \dot{\theta}$$

2.4.3. La force magnétique n'a pas de puissance car $\vec{v} \wedge \vec{B}_1 \perp \vec{v}$ 0,25
Il reste les faces électriques:
 $\vec{P}(f_L) = q (\vec{E}_0 + \vec{E}_1) \cdot \vec{v}$
 $= q (E_0 \cos \omega t \vec{e}_z + \frac{\omega}{2} B_1 R \sin \omega t \vec{e}_0)$

$$\vec{P}(f_L) = q E_0 \cos \omega t \dot{\theta} \vec{e}_A + q \frac{\omega}{2} B_1 R \sin \omega t \dot{\theta} \vec{e}_0$$

2.4.4. $\frac{dE_c}{dt} = \vec{P}(f_r) + \vec{P}(f_R) + \vec{P}(f_v) + \vec{P}(f_L)$
Dans R gal

0,25

$$\text{d'où } m_e \ddot{\theta} \theta (R^2 + A^2) = -KA\dot{\theta} - \gamma R^2 \dot{\theta}^2 - \gamma \dot{\theta}^2 A + q E_0 \cos \omega t \dot{\theta} + q \frac{\omega}{2} B_1 R \sin \omega t \dot{\theta}$$

on peut simplifier par $\dot{\theta}$; $z = A\theta \Rightarrow \dot{z} = A\dot{\theta}$

$$m_e (A^2 + R^2) \ddot{\theta} + \gamma (A^2 + R^2) \dot{\theta} + KA^2 \theta = q (AE_0 \cos \omega t + \frac{B_1}{2} \omega R^2 \sin \omega t) \quad (\text{OK})$$

2.4.5. En complexe on remplace $\cos \omega t$ par $e^{j\omega t}$ et $\sin \omega t$ par $-je^{j\omega t}$ de façon à ce que $\text{Réel}(e^{j\omega t}) = \cos \omega t$ et $\text{Réel}(-je^{j\omega t}) = \sin \omega t$

$$\text{d'où } [m_e (A^2 + R^2) (-\omega^2) + \gamma (A^2 + R^2) j\omega + KA^2] \underline{\theta} = q (AE_0 + j \frac{B_1}{2} \omega R^2)$$

$$\text{soit } \underline{\theta} = \frac{q (AE_0 + j \frac{B_1}{2} \omega R^2)}{-m_e (A^2 + R^2) \omega^2 + KA^2 + j \gamma (A^2 + R^2) \omega}$$

$$2.4.6. \begin{cases} \underline{P} = q \underline{z} = q A \underline{\theta} & (z = A\theta) \\ \underline{M} = \frac{q}{2} R^2 j\omega \underline{\theta} \end{cases}$$

$$\text{d'où } \begin{cases} \underline{P} = \alpha_p E_0 - \beta j \omega B_1 \\ \underline{M} = \beta j \omega E_0 + \alpha_m \omega^2 B_1 \end{cases}$$

$$\text{avec } \begin{aligned} \alpha_p &= \frac{q A^2}{m_e D(j\omega)} \\ \beta &= \frac{q R^2 A}{2 m_e D(j\omega)} \\ \alpha_m &= -\frac{q^2 R^4}{m_e^2 D(j\omega)} \end{aligned}$$

2.4.7. Si on change A en $-A$ alors α_p et α_m sont inchangés. Seul β change de signe.

2.5.1. Pour trouver l'équation de propagation, on fait $\text{rot rot } \vec{E}$

à partir de $\text{div } \vec{B} = 0$ (4)

$$\text{rot } \vec{E} = - \frac{\partial \vec{B}}{\partial t} \quad \text{div } \vec{E} = 0$$

$$\text{rot } \vec{B} = \mu_0 (\text{rot } \vec{H} + \frac{\partial \vec{P}}{\partial t}) + \epsilon_0 \mu_0 \frac{\partial \vec{E}}{\partial t}$$

$$\text{Ici } \vec{H} = 0 \text{ donc } \vec{H} = \vec{0}$$

$$v = 0 \text{ donc } \vec{P} = (\epsilon - \epsilon_0) \vec{E}$$

$$\text{ainsi } \text{rot } \vec{B} = \left(\mu_0 (\epsilon - \epsilon_0) + \epsilon_0 \mu_0 \right) \frac{\partial \vec{E}}{\partial t} = \mu_0 \epsilon \frac{\partial \vec{E}}{\partial t}$$

Alors $\text{rot rot } \vec{E} = \text{grad div } \vec{E} - \Delta \vec{E}$ donne :

$$-\frac{\partial}{\partial t} \left(\mu_0 \epsilon \frac{\partial \vec{E}}{\partial t} \right) = 0 - \Delta \vec{E} \quad \text{soit}$$

$$\Delta \vec{E} - \mu_0 \epsilon \frac{\partial^2 \vec{E}}{\partial t^2} = \vec{0} \quad c' = \frac{1}{\sqrt{\mu_0 \epsilon}}$$

$$c' = \frac{1}{\sqrt{\mu_0 \epsilon \epsilon_0}} = \frac{c}{\sqrt{\epsilon_0}} \quad \left(\Delta \vec{E} - \frac{\partial^2 \vec{E}}{\partial t^2} = \vec{0} \right) \quad \text{eq: d'onde}$$

2.5.2. Si $v \neq 0$ et $v' \neq 0$ alors

$$\text{rot } \vec{B} = \mu_0 \left[v' \frac{\partial (\text{rot } \vec{E})}{\partial t} + (\epsilon - \epsilon_0) \frac{\partial \vec{E}}{\partial t} - v \frac{\partial^2 \vec{B}}{\partial t^2} \right] + \mu_0 \frac{\partial \vec{E}}{\partial t}$$

$$= \mu_0 v' \left(- \frac{\partial^2 \vec{B}}{\partial t^2} \right) + \mu_0 \frac{\partial \vec{E}}{\partial t} - \mu_0 v \frac{\partial^2 \vec{B}}{\partial t^2}$$

$$\text{rot } \vec{B} = \mu_0 \frac{\partial \vec{E}}{\partial t} - \mu_0 (v + v') \frac{\partial^2 \vec{B}}{\partial t^2} \quad (\text{OK})$$

2.5.3. $\text{rot rot } \vec{B} = \text{grad div } \vec{B} - \Delta \vec{B}$ donne :

$$\mu_0 \frac{\partial}{\partial t} \left(- \frac{\partial \vec{B}}{\partial t} \right) - \mu_0 (v + v') \text{rot} \left(\frac{\partial \vec{B}}{\partial t} \right) = 0 - \Delta \vec{B}$$

$$\text{soit } \left[\Delta \vec{B} - \mu_0 \frac{\partial^2 \vec{B}}{\partial t^2} - \mu_0 (v + v') \text{rot} \left(\frac{\partial \vec{B}}{\partial t} \right) = \vec{0} \right] \quad (\text{OK})$$

2.5.4. Injectons $\vec{B}_x = 0$ ($B_x = 0$)

$$\Delta \vec{B} = \Delta B_y \vec{e}_y + \Delta B_z \vec{e}_z$$

$$\Delta f = \frac{\partial^2 f}{\partial x^2} + \frac{\partial^2 f}{\partial y^2} + \frac{\partial^2 f}{\partial z^2}$$

$$\Delta B_y = \frac{\partial^2 B_y}{\partial x^2} = -k_+^2 B_y \quad \text{De m'} \quad \Delta B_z = -k_+^2 B_z \quad (5)$$

En fait $\Delta \vec{B} = -k_+^2 \vec{B}$ (ce qui est normal car B_+ est plane c'est uniforme dans le plan d'onde $\perp \vec{e}_x$)

$$\text{Donc } \underbrace{-k_+^2 \vec{B} - \mu_0 \epsilon (-\omega^2) \vec{B}}_{\text{idem}} - \mu_0 (r+r') \text{rot}(-\omega^2 \vec{B}) = \vec{0}$$

$$+ \mu_0 (r+r') \omega^2 \text{rot}(e^{-jk_+^2 x} \text{le reste}) = \vec{0}$$

$$+ \mu_0 (r+r') \omega^2 (-j k_+^2 \vec{e}_x \wedge \vec{B}_+) = \vec{0}$$

$$\text{Or } \vec{e}_x \wedge \vec{B}_+ = B_+ (\vec{e}_z + j(-\vec{e}_y)) e^{j(\omega t - k_+^2 x)} = -j \vec{B}_+ \quad \left(\text{d'où } \text{rot} \vec{B}_+ = -j k_+^2 \vec{B}_+ \right)$$

$$\text{donc } \left(-k_+^2 + \mu_0 \epsilon \omega^2 + \mu_0 (r+r') \omega^2 k_+^2 \right) \vec{B}_+ = \vec{0}$$

La relation de dispersion est donc : $\boxed{k_+^2 = \frac{\omega^2}{c'^2} + \mu_0 (r+r') \omega^2 k_+^2}$

$$2.5.5. \text{ Avec } k_-^2 \vec{B}_- = B_- (\vec{e}_y - j \vec{e}_z) e^{j(\omega t - k_-^2 x)} \text{ rot} \vec{B}_- = -j k_-^2 \vec{e}_x \wedge \vec{B}_- = -j k_-^2 \vec{B}_-$$

(Il y a changement de signe) $\boxed{k_-^2 = \frac{\omega^2}{c'^2} + \mu_0 (r+r') \omega^2 k_-^2}$

$$2.5.6. \quad k_-^2 - k_+^2 = \mu_0 (r+r') \omega^2 (k_- + k_+)$$

d'où $\boxed{k_- - k_+ = \mu_0 (r+r') \omega^2}$

Rq: Je pense qu'il s'agit d'exprimer $k_- - k_+$ (et non $k_-^2 - k_+^2$)

Vu la différence entre k_- et k_+ , cela montre que B_- et B_+ se propagent à des vitesses différentes.

Si à l'entrée du milieu B_- et B_+ sont en phase, ils ne le sont plus à la sortie puisque chaque composante va à des vitesses différentes.

2.5.7. Plan de symétrie \Rightarrow paix rotatoire identique de part et d'autre de ce plan.

On $v \neq 0$ et $v' \neq 0$ conduisent à un paix rotatoire qui s'inverse selon le sens de propagation

Un milieu à symétrie aura $v=v'=0$